

**СПЕКТРАЛЬНАЯ КРАЕВАЯ ЗАДАЧА ДЛЯ ГРАВИТИРУЮЩЕГО  
СКАЛЯРНОГО ПОЛЯ В ПРОСТРАНСТВЕ-ВРЕМЕНИ С  
ТОПОЛОГИЕЙ  $\mathbb{R} \times \mathbb{R}\#\mathbb{RP}^3$**

**Никонов В.В., Цирулев А.Н., Чемарина Ю.В.**

Кафедра математических методов современного естествознания

Рассмотрена связанная система уравнений Эйнштейна и динамического уравнения для гравитирующего нейтрального скалярного поля с отрицательным кинетическим членом. Редукция этой системы в сферически-симметричном пространстве-времени с заданной нетривиальной топологией приводит к краевой задаче на собственные значения для системы ОДУ пятого порядка. Получено единственное, с точностью до преобразования зеркальной симметрии, асимптотически плоское частице-подобное решение, сходное по свойствам с холодной темной материей.

The coupled system of the Einstein equations and a dynamic equation for the gravitating neutral scalar field with the negative kinetic term is considered. Reduction of the system in the spherically symmetric spacetime with given nontrivial topology leads to a boundary eigenvalues problem for a fifth order ODE's system. Up to the mirror symmetry the unique asymptotically flat particle-like solution, specifically similar to cold dark matter is obtained.

**Ключевые слова:** уравнения Эйнштейна; скалярное поле; топология  $\mathbb{R} \times \mathbb{R}\#\mathbb{RP}^3$ .

**Keywords:** Einstein equations; scalar field; topology  $\mathbb{R} \times \mathbb{R}\#\mathbb{RP}^3$ .

Математические модели гравитирующих систем полей до недавнего времени рассматривались в основном в связи с принципиальным вопросом о роли гравитации в микромире. Однако открытия наблюдательной космологии последних лет и их анализ [1, 2, 3] в корне изменили ситуацию, явно указывая на наличие во Вселенной гравитирующей материи не барионного типа (холодной темной материи). Сравнение параметров эффективного уравнения состояния с данными наблюдений и ограничения на возможные сечения взаимодействия темной материи с известными частицами показывают, что одной из самых перспективных моделей новой формы материи является нейтральное скалярное поле с эффективным отрицательным давлением. Такое скалярное поле описывается слагаемым с минимальной связью и отрицательным кинетическим членом в лагранжиане взаимодействия [4, 5]. Полное действие можно записать в виде

$$\Sigma = -\frac{1}{4\pi} \int \left( \frac{1}{4}R + \frac{1}{2} \langle d\phi, d\phi \rangle + V(\phi) \right) \sqrt{|g|} d^4x, \quad (1)$$

где использована геометрическая система единиц ( $G = 1, c = 1$ ), скобки  $\langle, \rangle$  обозначают скалярное произведение относительно метрики, а  $V(\phi)$  - потенциал самодействия нейтрального скалярного поля.

Основной интерес представляют частицеподобные статические сферически-симметричные решения связанной системы уравнений Эйнштейна и динамического уравнения для скалярного поля, возникающей при варьировании действия (1). Такие решения с необходимостью должны иметь нетривиальную топологию пространственноподобного сечения, ортогонального к времениподобному полю Киллинга  $\partial_t$ , поскольку в противном случае они содержат голую сингулярность [6]. Единственный известный класс решений [4, 5, 6, 7] содержит топологическую ручку (wormhole), связывающую две асимптотически плоские области пространства-времени с топологией  $\mathbb{R} \times \mathbb{R}^3 \# \mathbb{R}P^3$ . Интерпретация топологической ручки как частицы вызывает серьезные трудности вследствие невозможности погружения решения в  $\mathbb{R}^4$  и необходимости изначального предположения о многосвязности пространственно-временного многообразия.

В данной работе мы рассматриваем решения с топологией  $\mathbb{R} \times \mathbb{R}^3 \# \mathbb{R}P^3$  и физически разумными предположениями об асимптотике решений. Запишем метрику пространства-времени в виде

$$g = A^2 dt \otimes dt - B^2 dr \otimes dr - C^2(d\theta \otimes d\theta + \sin^2 \theta d\varphi \otimes d\varphi), \quad (2)$$

оставляя свободу в выборе калибровочного условия, а компоненты тензоров будем относить к ортонормированному базису

$$e_0 = \frac{1}{A} \partial_t, \quad e_1 = \frac{1}{B} \partial_r, \quad e_2 = \frac{1}{C} \partial_\theta, \quad e_3 = \frac{1}{C \sin \theta} \partial_\varphi. \quad (3)$$

При записи и анализе уравнений Эйнштейна будем следовать методу, развитому в работах [8, 9] для исследования системы уравнений Эйнштейна-Янга-Миллса. В статическом случае метрические функции  $A$ ,  $B$ ,  $C$  и поле  $\phi$  зависят только от переменной  $r$ . Тензор энергии-импульса

$$T = \frac{1}{4\pi} \left[ -d\phi \otimes d\phi + g \left( \frac{1}{2} \langle d\phi, d\phi \rangle + V \right) \right]$$

диагонален, а систему независимых уравнений Эйнштейна и уравнения для скалярного поля можно записать в виде

$$-2 \frac{C_{(1)(1)}}{C} - \frac{C_{(1)}^2 - 1}{C^2} = -\phi_{(1)}^2 + 2V, \quad (4)$$

$$2 \frac{A_{(1)} C_{(1)}}{AC} + \frac{C_{(1)}^2 - 1}{C^2} = -\phi_{(1)}^2 - 2V, \quad (5)$$

$$\phi_{(1)(1)} + \frac{(AC^2)_{(1)}}{AC^2} \phi_{(1)} + \frac{dV}{d\phi} = 0, \quad (6)$$

где, как обычно, индекс в круглых скобках означает производную по направлению соответствующего базисного поля (3), например,  $\phi_{(1)} \equiv e_1(\phi) = (1/B) \partial_r \phi$ . Два других нетривиальных уравнения Эйнштейна совпадают и являются следствием

уравнений (4) – (6) в силу тождества Бианки и консервативности тензора энергии-импульса.

Естественным предположением об инвариантности лагранжиана относительно преобразования  $\phi \mapsto -\phi$  и короткодействующем типе взаимодействия накладываются существенные ограничения на вид потенциала  $V(\phi)$ . Требование аналитичности решения на бесконечности эквивалентно существованию степенной асимптотики, причем функции  $\phi_{(1)}$  и  $V$  должны быть порядка  $O(r^{-6})$  при  $r \rightarrow \infty$ . Непосредственный анализ асимптотики с помощью рядов по степеням  $1/r$  показывает, что наиболее простой потенциал, удовлетворяющий указанным требованиям, имеет вид полинома шестой степени:

$$V = \frac{1}{6\mu^2} (\phi^2 - p^2)^3. \quad (7)$$

Вакуумное состояние с необходимостью является нетривиальным ( $p \neq 0$ ), а дополнительные члены выше шестой степени по  $\phi$ , которые можно включить в потенциал, носят чисто пертурбативный характер и на качественное поведение решения не влияют. Далее, до обсуждения результатов, мы также полагаем  $\mu = 1$ , поскольку уравнения (4) – (6) масштабно инвариантны относительно преобразования

$$\tilde{V} = V\mu^2, \quad \tilde{C} = C/\mu, \quad \tilde{r} = r/\mu.$$

Явное задание топологии пространственно-временного многообразия  $M$  является необходимым элементом постановки задач в общей теории относительности, обеспечивающим единственность решения. В нашем случае пространственно-подобное сечение с топологией  $\mathbb{R}^3 \# \mathbb{R}P^3$  удобно рассматривать как факторпространство  $\mathbb{R}^3 \setminus B^3 / \sim$ , где отношение эквивалентности определяется естественным действием группы  $\mathbb{Z}_2$  на границе. Другими словами, мы удаляем из  $\mathbb{R}^3$  открытый шар и отождествляем противоположные точки граничной сферы. Из данного построения и теорем о классификации сферических пространственных форм [10] следует, что такая топология является единственной, допускающей сферически-симметричные и, одновременно, частицеподобные решения уравнений Эйнштейна.

Нетривиальность топологии многообразия  $M$  дает возможность рассматривать поле  $\phi$  как сечение одномерного вещественного векторного расслоения  $\Phi = (M, \mathbb{R}, \mathbb{Z}_2)$  со структурной группой  $\mathbb{Z}_2$ , к которой редуцируется любое такое расслоение. Обычно скалярное поле рассматривают как сечение тривиального расслоения  $M \times \mathbb{R}$ , то есть как функцию на  $M$ , поскольку любое векторное расслоение над  $M \approx \mathbb{R}^4$  тривиально. Однако в этом случае не существует решений, удовлетворяющих указанным выше требованиям.

Выбирая на  $M$  естественный атлас из шести карт со сферическими координатами, в которых угловые координаты ограничены на шесть стандартных полусфер граничной сферы нефакторизованного многообразия  $\mathbb{R}^3 \setminus B^3$ , можно построить локальную тривиализацию расслоения  $\Phi$ , согласованную с данным атласом. Нерв покрытия  $M$  и набор функций перехода в расслоении  $\Phi$  изображаются одним и тем же графом (Рис. 1) в котором элементы  $+1$  и  $-1$  группы  $\mathbb{Z}_2$  сопоставляются сплошным и штриховым ребрам соответственно.

Каждая пара вершин графа связана ребром. Они определяют знаки в функциях перехода  $\phi^{(2)} = \pm\phi^{(1)}$ ,  $r^{(2)} = \pm r^{(1)}$ , а также знак якобиана отображения  $(\theta^{(1)}, \varphi^{(1)}) \rightarrow (\theta^{(2)}, \varphi^{(2)})$  на пересечении любой пары карт.

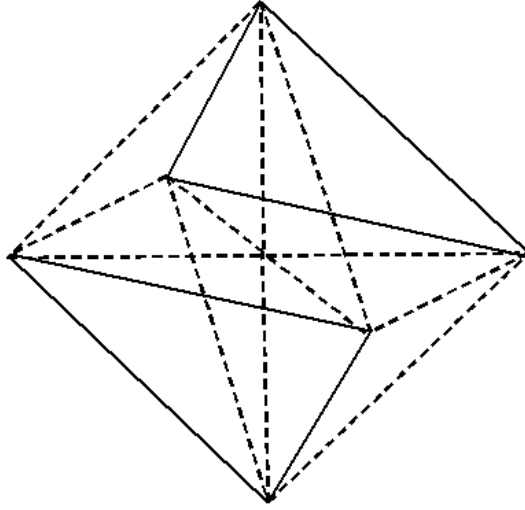


Рис. 5: Нерв покрытия многообразия  $M$  и набор функций перехода расслоения  $\Phi$ .

Не теряя общности, можно выбрать координату  $r$  равной нулю для каждой пары отождествленных точек граничной сферы, то есть во всех точках подмногообразия  $\mathbb{R} \times \mathbb{RP}^3 \subset M$ . Наложим калибровочное условие  $B = 1/A$  на метрику (2), гарантирующее шварцшильдову асимптотику на бесконечности и допускающее существование глобального решения в отсутствие горизонта событий. Обозначая штрихом производные по координате  $r$ , мы можем записать вытекающие из требований гладкости и невырожденности метрики граничные условия для трех неизвестных функций  $B$ ,  $C$  и  $\phi$ :

$$B'_{(r=0)} = 0, \quad C'_{(r=0)} = 0, \quad \phi_{(r=0)} = 0. \quad (8)$$

Отметим, что при  $V(\phi) = 0$  легко получить однопараметрическое семейство точных решений системы (4) – (6), удовлетворяющих условиям (8) и совместимых с заданной топологией многообразия  $M$ :

$$A = B = 1, \quad C = \sqrt{r^2 + \alpha^2}, \quad \phi = \arctg \frac{r}{\alpha}.$$

Однако очевидно, что эти решения не удовлетворяют сформулированным выше асимптотическим условиям.

Для потенциала в форме (7) система уравнений (4) – (6), записанная относительно независимой переменной  $r$  с учетом калибровочного условия  $B = 1/A$ , примет вид

$$C'' - \phi'^2 C = 0, \quad (9)$$

$$C' \frac{b'}{b} - \phi'^2 C - \frac{C'^2}{C} + \frac{b}{C} - \frac{1}{3} b C (\phi^2 - p^2)^3 = 0, \quad (10)$$

$$\phi'' + \left( 2 \frac{C'}{C} - \frac{b'}{b} \right) \phi' + b \phi (\phi^2 - p^2)^2 = 0, \quad (11)$$

где введено обозначение  $b = B^2$ , а уравнение (9) представляет сумму уравнений (4) и (6). Таким образом мы имеем краевую задачу на полупрямой для системы пятого порядка (9)-(11) с двумя особыми точками  $r = 0, \infty$ .

Мы начинаем численное решение задачи с представления неизвестных функций рядами в особых точках. Первым шагом является подстановка рядов с неопределенными коэффициентами вместо  $C$ ,  $b$  и  $\phi$  в уравнения (9)-(11) и последовательное решение (рекуррентных по порядку разложения) систем уравнений относительно коэффициентов рядов. Оказывается, что коэффициенты рядов зависят от пяти произвольных параметров  $a, p, r_0, s, \phi_0$ , а разложения в особой точке  $r = 0$  имеют вид

$$\begin{aligned} C &= s + \frac{1}{2}s\phi_0'^2 r^2 - \frac{1}{24} \frac{7s^3 p^6 + 6s^3 p^4 + 9s}{s^2 p^6 + 3} \phi_0'^4 r^4 + \dots, \\ b &= \frac{3s^2 \phi_0'^2}{s^2 p^6 + 3} - \frac{3s^4 p^6}{s^2 p^6 + 3^2} \phi_0'^4 r^2 + \dots, \\ \phi &= \phi_0' r - \frac{1}{6} \frac{4s^2 p^6 + 3s^2 p^4 + 6}{s^2 p^6 + 3} \phi_0'^3 r^3 + \dots. \end{aligned} \quad (12)$$

Аналогично, в бесконечной точке

$$\begin{aligned} C &= r + r_0 + \frac{1}{12p^6 r^3} + \dots, \\ b &= 1 + \frac{a}{r} + \frac{a(a-r_0)}{r^2} + \frac{a(a-r_0)^2}{r^3} + \dots, \\ \phi &= p - \frac{1}{2p^3 r^2} - \frac{a-r_0}{p^3 r^3} + \dots. \end{aligned} \quad (13)$$

В пакете MAPLE эти разложения получены до порядков  $r^{20}$  и  $r^{-20}$  соответственно с целью, во-первых, проверки сходимости рядов в различных областях значений параметров и, во-вторых, для достижения необходимой точности граничных условий при численном решении уравнений.

После приведения системы (9)-(11) к нормальной форме и перехода к конечному отрезку  $[r_1, r_2]$ ,  $r_1 > 0$ , мы получим спектральную краевую задачу для системы ОДУ пятого порядка. Для решения задачи применен метод стрельбы из граничных точек с последующей сшивкой решений в промежуточной точке посредством минимизации целевой функции в промежуточной точке до значения реальной точности ( $10^{-15}$ ) численного решения уравнений. Этот метод позволяет явно учесть спектральный характер задачи, особенно в случаях, когда спектр предполагается дискретным: при отсутствии дополнительной симметрии для сшивки пяти неизвестных функций  $C, C', b, \phi, \phi'$  необходимо иметь как минимум пять свободных параметров для варьирования условий в граничных точках.

Если  $\phi \rightarrow p > 0$  при  $r \rightarrow \infty$ , то условия минимума  $\phi' = 0, \phi'' = 0$ , могут быть выполнены, как это следует из (11) и (13), только при  $\phi < 0$ . Аналогичные рассуждения справедливы для точки  $r = 0$ . Численный анализ разложений (12), (13), их производных  $\phi'$  и  $\phi''$ , а также их аналитических переразложений в промежуточных точках, показывает, что это невозможно. Существует единственное, с

точностью до одновременного изменения знака у  $\phi$ ,  $\phi'_0$  и  $p$ , решение, соответствующее значениям параметров

$$a = 0.983, \quad p = 0.898, \quad r_0 = 1.475, \quad s = 1.941, \quad \phi'_0 = 0.924. \quad (14)$$

Результаты численных расчетов показаны на Рис. 2.

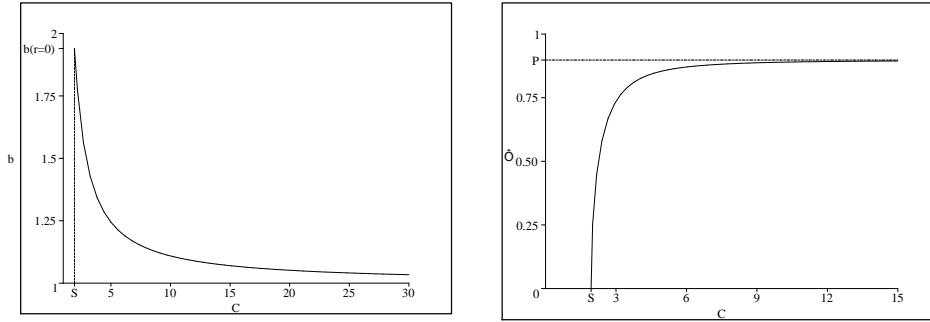


Рис. 6: Графики функций  $b(C)$  и  $\phi(C)$ .

Для таких гравитирующих полей как калибровочные поля или хиггсовские бозоны, моделирующих основные эффекты в Стандартной Модели, характерно существование бесконечного спектра [11]. Отсутствие колебательных мод в нашем случае оправдывает предположение о чисто гравитационном, почти упругом и, следовательно, сверхслабом взаимодействии построенной квазичастицы с другими частицами. Для оценки значений массы и размеров квазичастицы в обычной системе единиц, необходимо умножить  $\phi$  и  $p$  на  $\chi^{-1/2}$ , а  $C$ ,  $a$ ,  $s$ ,  $r_0$  — на  $\chi\mu$ , где  $\chi = G/c^4 \simeq 10^{-49}$  см/эрг ( $\sim 10^{-54}$  см/Мэв),  $\mu$  — коэффициент самодействия в потенциале (8), который является, как указано выше, свободным параметром вследствие масштабной инвариантности уравнений. Поскольку калибровочное условие для метрики согласовано с шварцшильдовской асимптотикой, то  $a = 2mG/c^2$ , где  $m$  — гравитационная масса квазичастицы. Полученное в (14) значение  $a \sim 1$  (в обычных единицах  $a \sim \chi\mu$ ) дает  $\mu \sim mc^2$ , а размер квазичастицы  $C_{min} = s \sim \chi\mu$ .

Обсуждение космологических следствий выходит за рамки данной работы, однако представляет интерес сравнение квазичастицы с инфлатоном — квантом вещественного скалярного поля, которое феноменологически вводится в одной из наиболее привлекательных моделей инфляции в ранней Вселенной [12]. Предполагаемая масса инфлатона равна планковской массе,  $m_p c^2 \sim 10^{22}$  Мэв, поэтому для  $m = m_p$  мы имеем  $s \sim 10^{-32}$  см. Таким образом, размер «топологической сердцевины» квазичастицы оказывается порядка планковской длины. Это весьма существенное обстоятельство косвенно указывает на внутреннюю согласованность модели.

**Заключение.** Реалистичность построенной модели квазичастицы гравитирующего вещественного скалярного поля может быть установлена только в рамках космологической теории в целом. Однако один из основных результатов работы не зависит от меняющихся представлений современных космологических моделей о содержании и свойствах экзотической материи во Вселенной и состоит в

демонстрации существования частицеподобных решений с нетривиальной топологией. В принципе аналогичную задачу можно рассматривать для гравитирующих полей любого типа, в том числе и спинорных, поскольку два первых класса Штифеля-Уитни пространственно-временного многообразия  $M$  равны нулю (это легко проверяется) и оно допускает спинорную структуру. Еще раз подчеркнем принципиальное отличие квазичастицы от решений типа топологических ручек (см., например, [13] и цитируемые там работы), ассоциируемых с «пенообразной структурой» пространства-времени и другими гипотезами, лежащими вне рамок математической физики. Очень важно также, что рассмотренная топология многообразия  $M$  допускает существование нетривиальных векторных расслоений над  $M$ , поскольку среди известных решений только монополи обладают такими свойствами, но они содержат сингулярность в центре. Это дает основания считать, что использованный метод обладает определенной перспективой для изучения как иных топологических решений, с отказом от сферически-симметричной геометрии, так и гравитирующих полей других типов.

### Список литературы

- [1] Hinshaw G. *et al.* First year WMAP observation: the angular power spectrum// *Astrophys. J. Suppl.* 2003. V. 148. P. 135 – 152.
- [2] Bento M.C., Bertolami O., Sen A.A. The revival of the unified dark energy – dark matter model//*Phys. Rev.* 2004. D70, 083519.
- [3] Turner M. Dark matter and dark energy: the critical questions//2002, arXiv:astro-ph/0207297.
- [4] Bilic N., Tupper G.B., Viollier R.D. Unificatin of dark matter and dark energy: the inhomogeneous Chaplygin gas// *Phys. Lett.* 2002, B535. P. 17 – 23.
- [5] Sushov S. Wormholes supported by a phantom energy// *Phys. Rev.* 2005. D70, 043520.
- [6] Visser M.Lorentzian wormholes: from Einstein to Hawking. AIP Press, NY, 1995.
- [7] Barcelo C., Visser M. Scalar fields, energy conditions and transversable wormholes// *Class.Quant.Grav.* 2000, B466. P. 3843 – 3861.
- [8] Tsirulev A.N. Gravitational fields with Yang-Mills curvature// *Proc. 15th Int. Conf. "High Energy Physics and Quantum Field Theory Moscow, 2001.* P.382-384.
- [9] Tsirulev A.N. Curvature decomposition and the Einstein-Yang-Mills eguations// *Part.Nucl.JINR.* 2004. V. 1. N12(119). P. 99 – 102.
- [10] Вольф Дж. Пространства постоянной кривизны. М.:Мир, 1989.
- [11] Volkov M.S., Galt'tsov D.V. Gravitating non-Abelian solutions and black holes with Yang-Mills fields//*Phys.Rep.* 1999. V.319, P.1-83.
- [12] Liddle A.R., Lyth D.H. *Cosmological inflation and large-scale structure.* Camb.Univ.Press, 2000.

- [13] Dowker F., Surya S. Topology change and causal continuity//Phys. Rev. 1998. D58, 124019.